

because of a large deviation resulting from an enormous addition of new thinly populated territory, which occurred immediately before that census. A certain compensation of the density of population is shown in the census of 1928, following the loss of some of the new territory together with the influx of more than a million of refugees. After these events the density of population for the year of 1928 appears to be at the expected level as indicated by the previous rates and now the growth continues towards a maximum of 57,5 persons per sq. km.

Table II (page 43) presents the estimated densities and population of Greece for future dates, as obtained by the above curve and on the assumption that there will be no changes in the area of the country nor any sudden change in the stage of the present civilization of the population.

Graph 3 (page 45) is an illustration of the search for the asymptotes of the curve by the graphical method of deriving the constants of the logistic equation. Finally table III (page 46) shows the «goodness of fit» of the curve, by comparing the observed and calculated values of the density of population of Greece.

**ΧΗΜΙΚΗ ΤΕΧΝΟΛΟΓΙΑ.**—Περὶ τῆς ἀπορροφήσεως τοῦ μονοξειδίου τοῦ ἄνθρακος κατὰ τὴν κάθαρσιν τῶν βιομηχανικῶν ἀερίων\*, ὑπὸ  
**Κ. Θ. Καββασιάδου.** Ἀνεκουνώθη ὑπὸ κ. Κ. Ζέγγελη.

#### ΕΙΣΑΓΩΓΗ

Εἰς τὴν βιομηχανίαν ἡ παρασκευὴ μεγάλων ποσοτήτων καθαροῦ καὶ εὐθηγοῦ ὑδρογόνου εἶναι ἐν ἀπὸ τὰ σπουδαιότερα προβλήματα. Κατὰ τὴν παρασκευὴν συνθετικῆς ἀ̄μμωνίας, ὅπου καταναλίσκονται σήμερον τεράστια ποσὰ ὑδρογόνου, ἡ παρουσία ἐν αὐτῷ, ἔστω καὶ ἵχνων μονοξειδίου τοῦ ἄνθρακος, ἔξασκον δηλητηριώδη ἐπιδρασιν ἐπὶ τῆς ικανότητος τῶν καταλυτῶν καὶ εἰδικῶς τῶν τοιούτων σιδήρου-μολυβδαινίου.

Ἡ εὐθυνὴ παραγωγὴ καθαροῦ ὑδρογόνου εἶναι ἐπίσης μεγάλης βιομηχανικῆς σπουδαιότητος διὰ τὴν σκλήρυνσιν τῶν ἔλαιων. Καὶ εἰς τὴν περίπτωσιν ταύτην τὰ ἵχνη τοῦ μονοξειδίου τοῦ ἄνθρακος ἐπιδροῦν δηλητηριωδῶς ἐπὶ τῶν καταλυτῶν.

Ἡ ἴδια δηλητηριώδης ἐπενέργεια ἐπὶ τῆς δυναμικότητος τῶν καταλυτῶν ὑπὸ ἔλαχίστου ποσοῦ μονοξειδίου τοῦ ἄνθρακος φαίνεται νὰ λαμβάνῃ χώραν καὶ κατὰ τὴν καταλυτικὴν ὑδρογόνωσιν τῶν ἄνθρακων πρὸς παρασκευὴν τεχνητῶν ὑδρογονανθράκων (πετρελαίων).

Μέγα ποσὸν ὑδρογόνου διὰ τὰς ἀνωτέρω μνημονευθείσας βιομηχανίας παράγεται ἔξι ὑδραερίου διὰ καταλυτικῆς δέξιειδώσεως τοῦ μεγαλυτέρου ποσοῦ τοῦ μονοξειδίου

\* C. TH. KAWASSIADIS. — Sur l'absorption d'oxyde de carbone pendant la purification des gaz industriels.

τοῦ ἀνθρακος πρὸς διοξείδιον καὶ ἀκολούθως διὰ διαλύσεως τοῦ σχηματιζομένου διοξείδιου εἰς ὑδωρ ὑπὸ πίεσιν. Πάντως ποσόν τι μονοξείδιου τοῦ ἀνθρακος 2-5% διαφεύγει τὴν δέξιδωσιν.

Πρὸς ἀπομάκρυνσιν τῶν ποσῶν τούτων χρησιμοποιοῦν ἐν τῇ βιοχανίᾳ διαλύματα ὑποχλωριούχου χαλκοῦ εἰς ὑδροχλωρικὸν δέξι, ἀμμωνίαν ἢ χλωριούχον ἀμμώνιον, ἀτινα ἔχουν τὴν ἰδιότητα νὰ ἀπορροφοῦν τὸ μονοξείδιον τοῦ ἀνθρακος.

Ἡ ἰδιότης αὕτη τοῦ ὑποχλωριούχου χαλκοῦ παρετηρήθη τὸ πρῶτον ὑπὸ τοῦ Leblanc<sup>1</sup> καὶ ἐμελετήθη κατόπιν ὑπὸ τοῦ M. Berthelot<sup>2</sup>.

Ἐὰν τὰ διαλύματα τοῦ ὑποχλωριούχου χαλκοῦ, μετὰ τὸν κορεσμὸν ὑπὸ μονοξείδιου τοῦ ἀνθρακος, θερμανθῶσι εἰς 70-80° C, ἢ ἀν τεθοῦν ὑπὸ σχετικὸν κενόν, τότε ἀποδίδουν τὸ ἀπορροφηθὲν μονοξείδιον τοῦ ἀνθρακος ὑπὸ λίαν καθαρὰν κατάστασιν (99,5) οὕτως ὥστε ἡ μέθοδος αὕτη δύναται νὰ χρησιμοποιηθῇ καὶ διὰ βιομηχανικὴν παραγωγὴν μονοξείδιον τοῦ ἀνθρακος, ἐκεῖ ὅπου τὸ ἀέριον τοῦτο εἶναι ἀνάγκη νὰ εὑρίσκηται ὑπὸ καθαρὰν μορφὴν ὡς π. χ. διὰ τὴν παραγωγὴν τοῦ φωσγενίου "Αλλως τε ἡ πρώτη προσπάθεια ὅπως χρησιμοποιηθῇ βιομηχανικῶς ἡ ἰδιότης αὕτη τοῦ ὑποχλωριούχου χαλκοῦ ἐγένετο πρὸς τὸν σκοπὸν τοῦτον ὑπὸ τοῦ Huntington τῷ 1884. Οὗτος ἔλαβε προνόμιον εὑρεσιτεχνίας διὰ ἐγκατάστασιν ἀπορροφήσεως τοῦ μονοξείδιου τοῦ ἀνθρακος ἀπὸ τὰ ἄκαυστα συστατικὰ τῶν καμιναερίων<sup>3</sup>.

Καίτοι ἀπὸ τῆς ἐποχῆς ἐκείνης καὶ κατόπιν πολλοὶ ἐρευνηταὶ ἐπελήφθησαν τῆς μελέτης τοῦ θέματος τούτου, ἐν τούτοις αἱ ἐρευναὶ δὲν κατέληξαν εἰς σαφῆ συμπεράσματα. Ἐκτὸς τοῦ ὅτι σοβαρώταται ἀσυμφωνίαι ὑπάρχουν εἰς τὰς ἐν λόγῳ ἐρεύνας, ὅλαι ἀναφέρονται εἰς καταστάσεις χημικῆς ἴσορροπίας ἥτις πόρω ἀπέχει τῆς πραγματικῆς καταστάσεως ἥτις ὑφίσταται ἐντὸς τῶν ἀπορροφητικῶν πύργων τῆς βιομηχανίας, ἡ σχεδίασις τῶν ὁποίων εἰς τὴν περίπτωσιν ταύτην, δύναται τις νὰ εἴπῃ, εἶναι μᾶλλον ἐμπειρική.

Τὸ θέμα τῆς ἐρεύνης ταύτης ὑπῆρξεν ἡ ἀνεύρεσις τῶν ὕρων, ὑπὸ τοὺς ὁποίους συντελεῖται ἡ ἀπορρόφησις τοῦ μονοξείδιου τοῦ ἀνθρακος ὑπὸ τῶν διαλυμάτων τοῦ ὑποχλωριούχου χαλκοῦ.

#### ΠΕΙΡΑΜΑΤΙΚΟΝ ΜΕΡΟΣ

Τὸ πειραματικὸν μέρος τῆς ἐρεύνης ταύτης παρουσιάζεται ἀρκετὰ δύσκολον ἐκ τοῦ γεγονότος ὅτι τὰ διαλύματα τοῦ ὑποχλωριούχου χαλκοῦ ἐκτὸς τοῦ μονοξείδιου ἀπορροφοῦν καὶ δέξιγόν, δέξιδούμενα εἰς χλωριούχα. Οὕτως ἥτο ἀνάγκη τὰ πειράματα νὰ ἐκτελοῦνται ἀπουσίᾳ ἀτμοσφαιρικοῦ ἀέρος εἰς ἀτμόσφαιραν ἀδρανοῦς ἀερίου ὡς εἶναι τὸ ὑδρόγονον ἢ ἀζωτον τελείως κεκαθαρμένον.

<sup>1</sup>Ανάλυσις ἀερίου.—Προσέτι ἔπειτε νὰ εὑρεθῇ τρόπος ταχέος καὶ ἀκριβοῦς ποσοτικοῦ προσδιορισμοῦ τοῦ μονοξείδιου τοῦ ἀνθρακος.

Ἡ χρῆσις τῆς συσκευῆς Orsat πληροῖ τὸν ὅρον τῆς ταχύτητος ἀλλὰ δὲν ἦτο δυνατὸν νὰ χρησιμοποιηθῇ εἰς τὴν ἔρευναν ταύτην ὡς δίδουσα ἀποτελέσματα οὐχὶ μεγάλης ἀκριβείας, ὅσης ἀπαιτεῖται διὰ μίαν ἔρευνητικὴν ἐργασίαν. Ἐδοκιμάσθη ἐπίσης ἡ μέθοδος τῆς καύσεως τοῦ μονοξειδίου τοῦ ἄνθρακος εἰς θερμοκρασίαν 300°C ἐντὸς ἥλεκτρικῶν θερμαινομένου σωλήνος πλήρους ὀξειδίου τοῦ χαλκοῦ. Ἡ μέθοδος αὕτη εἶναι πολὺ βραδεία καὶ οὐχὶ ἀρκετὰ ἀκριβῆς διὰ χαμηλᾶς περιεκτικότητας μονοξειδίου.

Κατελήξαμεν εἰς τὴν σχεδίασιν μιᾶς συσκευῆς προσδιορισμοῦ τοῦ μονοξειδίου τοῦ ἄνθρακος βασιζόμενοι εἰς τὴν ὀξειδωσιν τούτου πρὸς διοξειδίον εἰς θερμοκρασίαν 125-150°C διὰ πεντοξειδίου τοῦ ἰωδίου, κατὰ τὴν ἀντίδρασιν  $I_2O_5 + 5CO = 5CO_2 + I_2$  καὶ ὁγκομετρήσεως τοῦ ἔλευθερου μένου ἰωδίου.

Ἡ ἀντίδρασις αὕτη γνωστὴ πρὸ πολλοῦ ἐχρησιμοποιήθη διὰ τὸν προσδιορισμὸν τοῦ μονοξειδίου ὑπὸ διαφόρων συγγραφέων διὰ διαφόρων συσκευῶν.

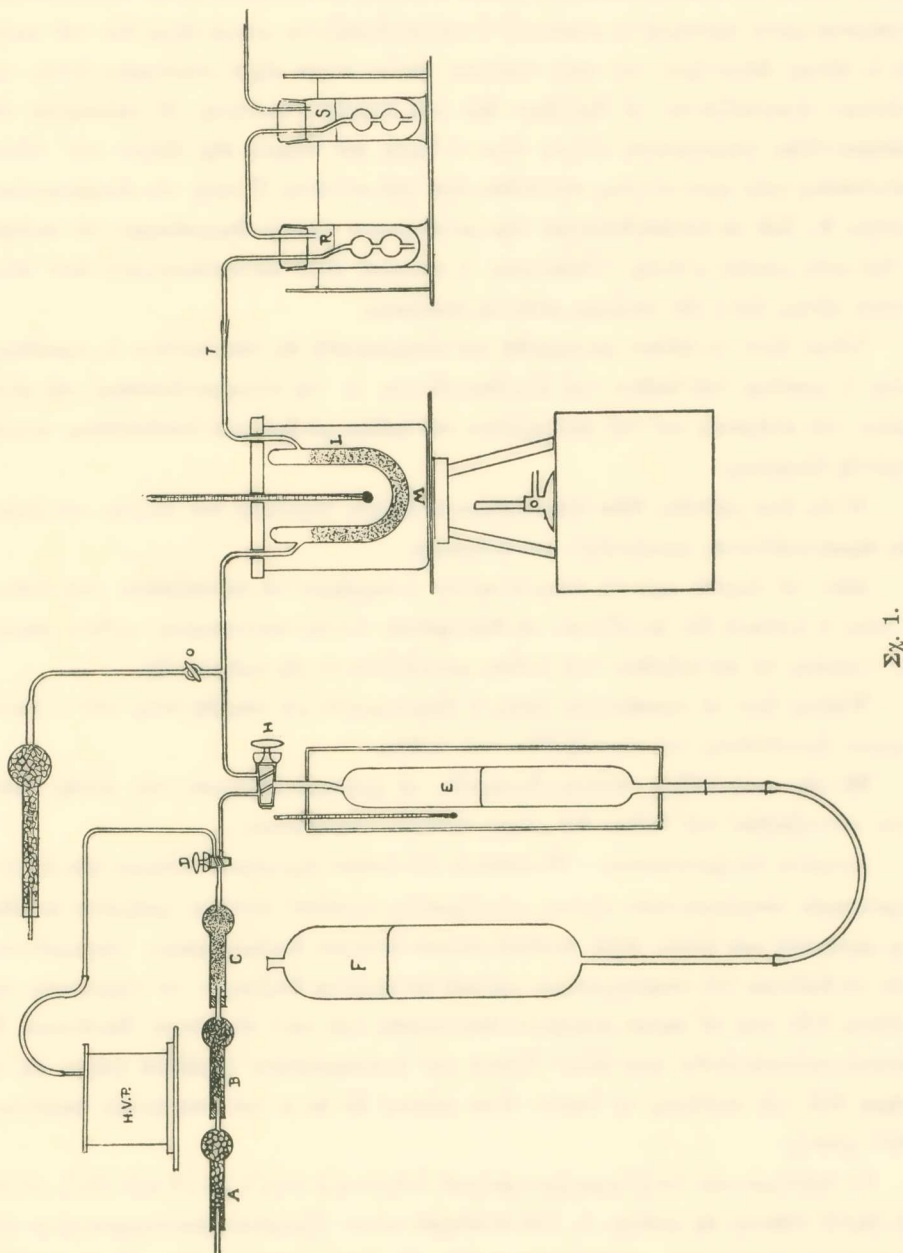
Ἡ συσκευὴ (εἰκ. 1) συνίσταται ἀπὸ τὸ ἀεριοσιφώνιον Ε ὡρισμένου ὄγκου τὸ ὄποιον εὑρίσκεται ἐντὸς κιβωτίου οὔτως ὥστε νὰ διατηρῆται ὁμοιόμορφος ἡ θερμοκρασία. Τὸ δοχεῖον φέρει πρὸς τὸ ἄνω μέρος δίπορον στρόφιγγα H, ἣτις συγκοινωνεῖ κατὰ τὴν μίαν αὐτῆς θέσιν πρὸς σειρὰν σωλήνων A, B, C. Ὁ σωλὴν A περιέχει χλωριοῦχον ἀσβέστιον διὰ τὴν ἀπορρόφησιν τῆς ὑγρασίας, ὁ B στερεὸν καυστικὸν κάλι διὰ τοὺς ἀτμοὺς τοῦ ὑδροχλωρικοῦ ὀξείου καὶ ὁ C πεντοξειδίον τοῦ φωσφόρου διὰ ἵχνη ὑγρασίας, ἀτινα τυχὸν διαφεύγουν ἀπὸ τὸν σωλὴν A. Μετὰ τὸν σωλὴν C καὶ πρὸ τοῦ ἀεριοσιφώνιον Ε ὑπάρχει ἑτέρα δίπορος στρόφιγξ D πρὸς σύνδεσιν εἴτε πρὸς ἀεραντίλιαν ὑψηλοῦ κενοῦ H.V.P., εἴτε πρὸς τὸ ἀεριοσιφώνιον E.

Ἡ ἄλλη θέσις τῆς στρόφιγγος H συγκοινωνεῖ μὲν Οοειδῆ σωλήνα L βυθισμένον εἰς ποτήριον M πλήρες ὑγρᾶς παραφίνης ἢ γλυκερίνης, θερμοκρασίας 125-150°C, καὶ περιέχοντα πεντοξειδίον τοῦ ἰωδίου. Ὁ σωλὴν L συνδέεται μὲ δύο ἀπορροφητικοὺς σωλήνας ἐν εἴδει πλυντρίδων R καὶ S. Ἡ ἀνάλυσις τοῦ ἀερίου τελεῖται ὡς ἔξης:

Πρῶτον σχηματίζομεν κενὸν εἰς τοὺς σωλήνας A, B, C, συνδέοντες καὶ θέτοντες ἐν λειτουργίᾳ τὴν ἀεραντλίαν. Μετὰ ταῦτα πληροῦμεν διὰ τοῦ πρὸς ἀνάλυσιν ἀερίου τὸ ὄποιον διαβιβάζομεν διὰ τῶν ὡς ἄνω σωλήνων A, B, C, εἰς τὸ ἀεριοσιφώνιον E. Κατόπιν ἔξισοῦμεν διὰ τοῦ δοχείου ὑδραργύρου F τὴν πίεσιν τοῦ ἐντὸς τοῦ ἀεριομέτρου ἀερίου πρὸς τὴν ἀτμοσφαιρικήν, σημειοῦμεν τὴν θερμοκρασίαν τοῦ κιβωτίου εἰς ὃ περιέχεται τὸ ἀεριοσιφώνιον καὶ ἀνάγομεν τὸν ὄγκον τοῦ ἀερίου εἰς κανονικὴν πίεσιν καὶ θερμοκρασίαν.

Εἶτα διαβιβάζομεν τὸ ἀέριον διὰ τοῦ Οοειδοῦς σωλήνος L, τοῦ περιέχοντος πεντοξειδίον τοῦ ἰωδίου, μὲ ταχύτητα 5 κυβ. ἑκ. κατὰ δευερόλεπτον. Ἀτμοὶ ἰωδίου ἐκλύονται πρὸς τὸ δεξιὸν μέρος τοῦ σωλήνος οἵτινες ἀφ' ἐνὸς μὲν ἀποτίθενται ὡς λεπτότατοι

κρύσταλλοι ἐπὶ τῶν ψυχρῶν τοιχωμάτων τοῦ θαλίνου σωλήνος μεταξὺ τοῦ σωλήνος



καὶ τοῦ ἀπορροφητικοῦ R, ἀφ' ἑτέρου δὲ ἀπορροφῶνται εἰς τὸν σωλήνα R ὑπὸ τοῦ  
ἐν αὐτῷ 10 % διαλύματος τοῦ ιωδιούχου καλίου.

"Οταν διέλθη ὅλον τὸ ἀέριον διὰ τοῦ σωλῆνος L τότε ἡ στρόφιγξ H κλείεται καὶ τὸ ἄκρον τοῦ δευτέρου ἀπορροφητικοῦ σωλῆνος S συνδέεται μετὰ ὑδραεραντλίας. Ἀνοίγεται μετὰ προσοχῆς ἡ στρόφιγξ O καὶ διαβιβάζεται ρεῦμα δέρος διὰ τοῦ σωλῆνος L οὕτως ὥστε ἵχνη τοῦ πρὸς ἀνάλυσιν ἀερίου ἀτινα εῖχον παραμενή ἐντὸς τῶν σωλῆνων ἀναγκάζονται νὰ διέλθουν διὰ τοῦ Οοειδοῦς σωλῆνος. Ἡ λειτουργία τῆς ὑδραεραντλίας παρατείνεται μέχρις ὅτου ὁ ξηρὸς καὶ θερμὸς ἀὴρ δλίγον κατ' δλίγον μετατοπίσῃ τοὺς κρυστάλλους τοῦ ιωδίου ἀπὸ τοῦ σωλῆνος T πρὸς τὸν ἀπορροφητικὸν σωλῆνα R. Διὰ νὰ ὑποβοηθήσωμεν τὴν μετατόπισιν ταύτην θερμαίνομεν τὸν σωλῆνα T διὰ μιᾶς μικρᾶς φλοιγός. Ὁλόκληρος ἡ συσκευὴ εἶναι κατασκευασμένη ἀπὸ ὕελον Pyrex οὕτως ὥστε δὲν ὑπάρχει κίνδυνος θραύσεως.

"Οταν ὅλον τὸ ιωδίον μεταφερθῇ καὶ ἀπορροφηθῇ εἰς τὸν σωλῆνα L, προσδιορίζεται ἡ ποσότης τοῦ ιωδίου τοῦ ἐλευθερωθέντος ἐκ τῆς ἀληλυλεπιδράσεως τοῦ μονοξειδίου τοῦ ἄνθρακος καὶ τοῦ πεντοξειδίου τοῦ ιωδίου μὲ διάλυμα ὑποθειώδους νατρίου γνωστῆς δυνάμεως.

Ἡ ὡς ἄνω μέθοδος δίδει ἀποτελέσματα ἔξοχου ἀκριβείας διὰ ὑψηλὰς καὶ χαμηλὰς περιεκτικότητας μονοξειδίου τοῦ ἄνθρακος.

Δέον νὰ ληφθῇ φροντὶς ὅπως ὁ σωλὴν ὁ περιέχων τὸ πεντοξείδιον τοῦ ιωδίου, ἐφ' ὅσον ἡ συσκευὴ δὲν ἐργάζεται, νὰ διατηρηται καλῶς κεκλεισμένος καθότι παρουσίᾳ ὑγρασίας τὸ πεντοξείδιον τοῦ ιωδίου μεταβάλλεται εἰς ιωδικὸν δξύ.

Ἐπίσης δέον νὰ προσέχωμεν ὅπως ἡ θερμοκρασία μὴ ὑπερβῇ τοὺς  $160^{\circ}\text{C}$  ὅπότε ἀρχεται ἀποσύνθεσις τοῦ πεντοξειδίου τοῦ ιωδίου.

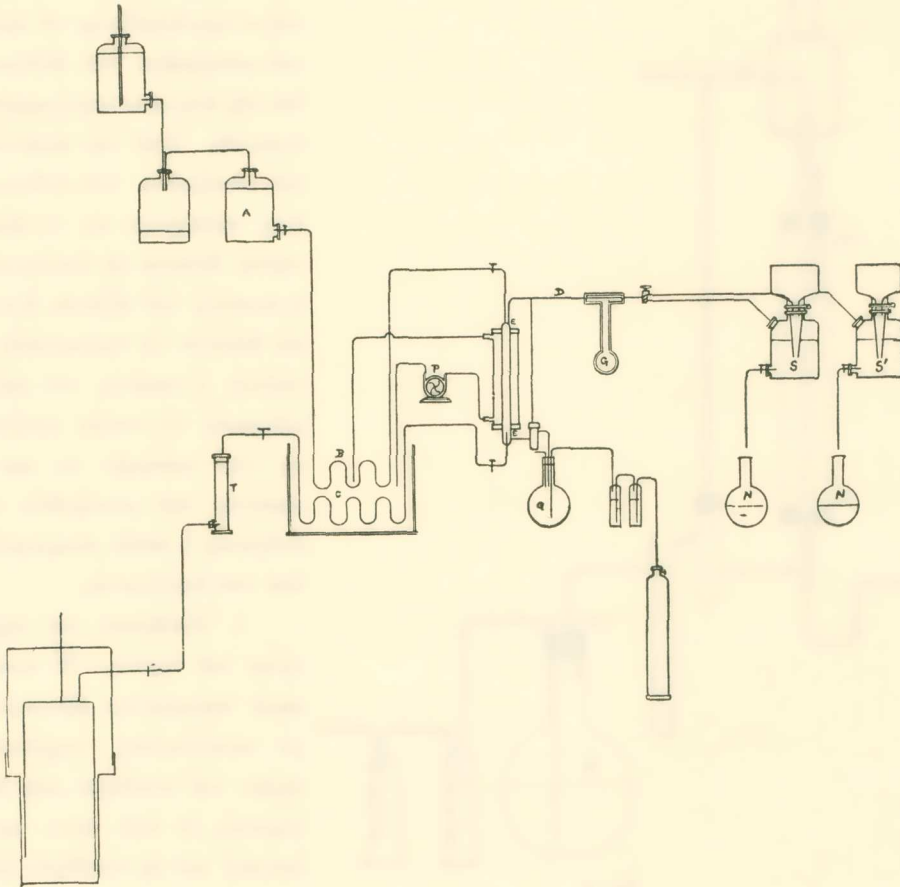
Μὲ τὰς προφυλάξεις τούτας δυνάμεθα νὰ χρησιμοποιήσωμεν τὴν αὐτὴν ποσότητα πεντοξειδίου τοῦ ιωδίου διὰ μέγαν ἀριθμὸν πειραμάτων.

Συσκευὴ ἀπορροφήσεως.—Ἡ συσκευὴ τὴν ὅποιαν ἐχρησιμοποιήσαμεν (εἰκ. 3), ἦτο μικρογραφία ἀπορροφητικοῦ πύργου, συστήματος counter-current (ρεύματα ἀντιθέτως φερόμενα) καὶ τύπου wall-wetted tower (πύργου διαβρεχομένων τοιχωμάτων), ὅπου τὸ διάλυμα τοῦ ὑποχλωριούχου χαλκοῦ κατέρχεται διαβρέχον τὰ τοιχώματα τοῦ σωλῆνος EE, ἐνῷ τὸ ἀέριον ἀνέρχεται ἐσωτερικῶς καὶ κατ' ἀντίθετον διεύθυνσιν. Ἡ συσκευὴ κατεσκευάσθη ἀπὸ ὕελον Pyrex καὶ ἡ ἀπορρόφησις λαμβάνει χώραν εἰς τὸ τμῆμα EE τοῦ σωλῆνος, τὸ ὅποῖον εἶναι μήκους 20 ἑκ. μ. καὶ ἐσωτερικῆς διαμέτρου 0,447 χλστμ.

Τὸ διάλυμα τοῦ ὑποχλωριούχου χαλκοῦ (16,84 μ.β CuCl, 25,72 μ.β HCl, 57,44 μ.β H<sub>2</sub>O) τίθεται εἰς φιάλην A, ὑπὸ σταθερὰν πίεσιν ὑδρογόνου, ἐπιτυγχανομένην διὰ δύο φιαλῶν, ὡς δεικνύει τὸ διάγραμμα (εἰκ. 2). Ἀφοῦ τοῦτο διέλθῃ δι' ἐλικοειδοῦς σωλῆνος B, βυθισμένου ἐντὸς θερμοστάτου, εἰσέρχεται μετὰ ταῦτα εἰς τὸν ἀπορροφητικὸν σωλῆνα EE καὶ μετὰ τοῦτο κατέρχεται διαβρέχον τὰ τοιχώματα. Διὰ διαφόρων

συνδυασμῶν κατορθώνομεν νὰ ἔχωμεν σταθεράν τὴν πίεσιν εἰς τὸν χῶρον τῆς ἀπορροφήσεως. Τὸ διάλυμα τοῦ ὑποχλωριούχου χαλκοῦ μετὰ τοῦτο συλλέγεται εἰς φιάλην Q ἐν ἀτμοσφαίρᾳ καθαροῦ ἀζώτου προερχομένου ἀπὸ κύλινδρον καὶ καθαριζόμενου εἰς δύο πλυντρίδας μὲ ὑδροθεῖκὸν νάτριον.

Τὸ πρὸς κάθαρσιν ἀέριον, συνιστάμενον ἀπὸ ἀζώτου μετὰ ποικιλλουσῶν ποσο-



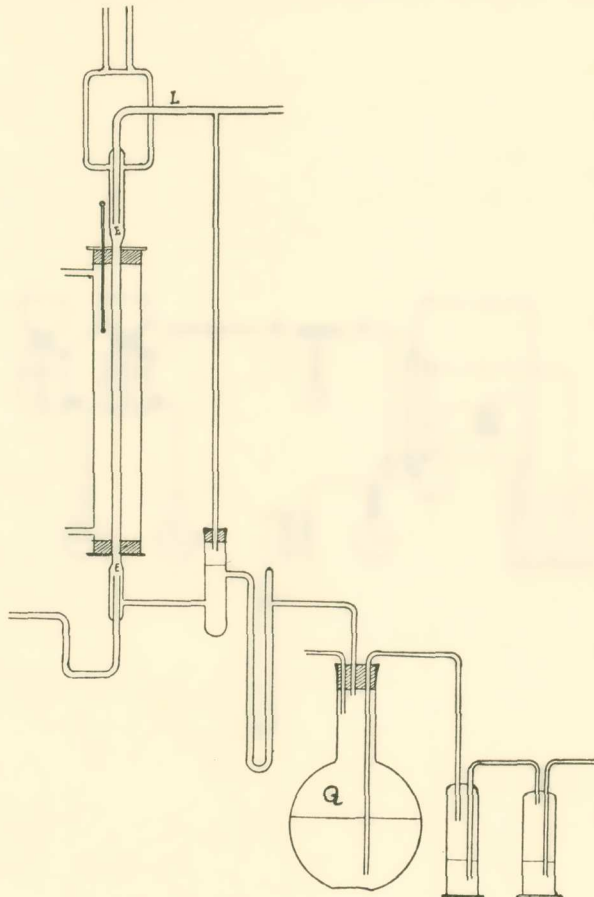
Σχ. 2.

τήτων μονοξειδίου τοῦ ἀνθρακος (κατὰ τὰ διάφορα πειράματα) διέρχεται ἐκ τοῦ ἀεροφυλακίου τὸν ἔηραντήριον πύργον T καὶ ἐκεῖθεν διὰ τοῦ ἐλικοειδοῦς σωλῆνος C πρὸς τὴν ἀπορροφητικὴν συσκευὴν E E διὰ τοῦ σωλῆνος L ὅστις εἴναι τῆς αὐτῆς διαμέτρου μὲ τὸν σωλῆνα E E. "Οπως ἔξασφαλίσωμεν σταθερὰν θερμοκρασίαν εἰς τὸ ἀπορροφητικὸν τμῆμα τῆς συσκευῆς E E κατὰ τὴν ὥραν τοῦ πειράματος ἔχομεν πέριξ τῆς ἀπορροφητικῆς συσκευῆς water jacket (ὑδάτινον χιτῶνα) ἐντὸς τοῦ ὄποίου

κυκλοφορεῖ ὅδωρ ἐκ τοῦ θερμοστάτου, τῇ βοηθείᾳ μικρᾶς ἀντλίας P. Τὸ ἀέριον ἔξερχεται κατόπιν διὰ τοῦ σωλῆνος D, διέρχεται διὰ τοῦ μετρητοῦ ταχύτητος τοῦ ρεύματος G (flow meter) καὶ ἐκεῖθεν εἰς τὰ ἀεριοφυλάκια S ἢ S'.

Ο δύκος τοῦ ἀερίου ὁ εἰσερχόμενος εἰς τὰ ἀεριοφυλάκια μετρᾶται ἐκ τοῦ ἵσου δύκου τοῦ ὅδατος τοῦ ἐκτοπιζομένου εἰς δύκομετρικήν φιάλην N κατὰ τὸν χρόνον

τοῦ πειράματος. Εἰς τὸ ἀέριον τοῦτο προσδιορίζεται τὸ ποσὸν τοῦ μονοξειδίου τοῦ ἀνθρακος διὰ τῆς ἀνωτέρω περιγραφείσης συσκευῆς. Ἀπὸ τὴν ποσότητα τοῦ μονοξειδίου τοῦ ἀνθρακος, ἥτις περιέχεται εἰς τὸ ἀέριον τοῦτο, δύναται νὰ ὑπολογισθῇ ἡ ποσότης τοῦ ἀζώτου. Κατόπιν δύναται νὰ ὑπολογισθῇ ἐκ τούτων ἡ ποσότης τοῦ ἀερίου μίγματος τὸ ὅποιον εἰσῆλθεν εἰς τὴν συσκευὴν ὡς καὶ ἡ ποσότης τοῦ μονοξειδίου τοῦ ἀνθρακος ἡ ὅποια ἀπορροφήθη ὑπὸ τοῦ διαλύματος.



Σχ. 3.

ταχυτήτων  $\frac{\text{ἀέριον}}{\text{διάλυμα}}$  ἐποίκιλλε μεταξὺ 10 καὶ 134. Εἰς τὸν πίνακα I δίδονται τὰ ἀποτελέσματα τῶν πειραμάτων τούτων καθὼς καὶ ὁ δύκος τοῦ ἀπορροφηθέντος μονοξειδίου τοῦ ἀνθρακος κατὰ κυβ. ἑκατ. διαλύματος, τὰ χιλιοστόγραμμα τοῦ ἀπορροφηθέντος μονοξειδίου τοῦ ἀνθρακος κατὰ λεπτὸν καὶ ἡ ἀπορροφητικὴ ἴκανότης τοῦ πύργου (ἐπὶ τοῖς ἑκατὸν ἀπορρόφησις).

## ΠΙΝΑΞ Ι.

Θερμοκρασία: 20°C

Πίεσις: 13 έκατοστ. μ. στήλης όδατος

Ταχύτης φοής διαλύματος: 5 κ. έκατ. κατά λεπτόν.

\*Ανάλυσις αέριου: CO.10.24%, N<sub>2</sub> 89.76%.

Χρόνος διά 1000 μ. έκ.	% CO είς τὸ ξερούμενον άέριον	Ταχύτης κ. έκ. Διά διεγόλεπ.	Γραμμική τοξύτ. έκ. μ. διεγόλεπ.	% CO κατά η. έκ. διαλύματος	Χλωστόγ. CO κατά λεπτόν	% άπορ- θόφησις
20' 12''	5.08	0.875	5.58	0.604	3.5	56.23
11' 15''	7.77	1.53	9.74	0.667	3.87	35.62
5' 50''	8.50	2.92	18.6	0.776	4.58	20.90
3' 35''	9.18	4.67	29.8	0.833	4.78	14.40
2' 4''	9.67	8.14	51.8	0.940	5.31	9.19
1' 34''	9.84	10.70	68.	0.998	5.36	7.22

2. *Επίδρασης τῆς ταχύτητος τοῦ διαλύματος.* — Δύο ἄλλαι σειραὶ πειραμάτων ἔχετελέσθησαν μὲ ταχύτητα φοής διαλύματος 10 καὶ 20 κυβ. ἑ. κατὰ λεπτόν εἰς τὴν αὐτὴν σταθερὰν θερμοκρασίαν. Τὰ ἀποτελέσματα δίδονται κατωτέρω εἰς τοὺς πίνακας 2 καὶ 3.

## ΠΙΝΑΞ ΙΙ.

Θερμοκρασία: 20°C

Πίεσις: 13 έκατοστ. μ. στήλης όδατος

Ταχύτης φοής διαλύματος: 10 κ. έκ. κατά λεπτόν.

\*Ανάλυσις αέριου: CO 9.98% N<sub>2</sub> 90.02%.

Χρόνος διά 1000 μ. έκ.	% CO είς τὸ ξερούμενον άέριον	Ταχύτης κ. έκ. Διά διεγόλεπ.	Γραμμική τοξύτ. έκ. μ. διεγόλεπ.	% CO κατά η. έκ. διαλύματος	Χλωστόγ. CO κατά λεπτόν	% άπορ- θόφησις
18' 34''	2.498	0.973	6.2	0.457	5.31	77.8
11' 4''	5.07	1.57	10.	0.495	5.74	51.8
5' 44''	6.95	3.	19.	0.583	6.78	33.5
3' 28''	8.02	5.	31.3	0.636	7.34	21.65
2' 2''	8.72	8.3	53.4	0.682	7.95	13.51
1' 31''	8.93	11.	70.	0.735	8.50	10.91
1' 20''	9.17	12.	80.	0.752	8.75	9.91

## ΠΙΝΑΞ III.

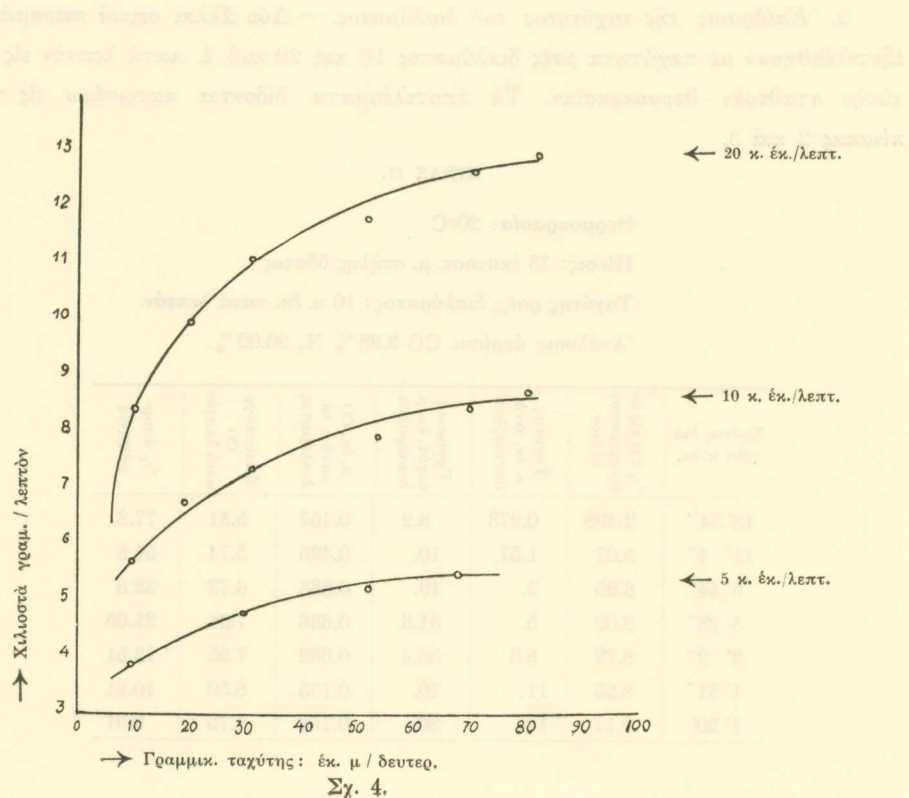
Θερμοκρασία:  $20^{\circ}\text{C}$ 

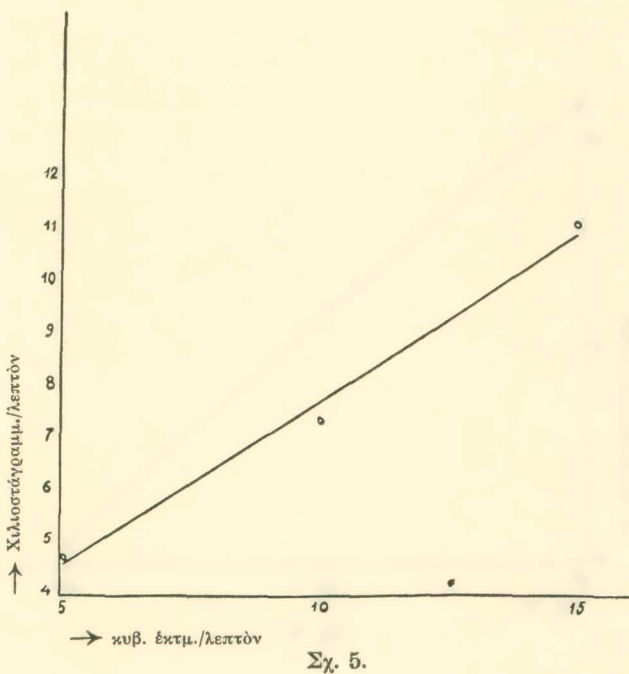
Πίεσης: 13 έκατοστ. μ. στήλης ύδατος

Ταχύτης ροής διαλύματος: 20 κ. έκ. κατά λεπτόν.

Άναλυσις άερού: CO 10.24%, N<sub>2</sub> 89.76.

Χρόνος διά 1000 κ. έκ.	% CO είς τὸ ξερόβιον δέργον	Ταχύτης κ. έκ. άνά δευτερόλεπτ.	Γραμμή ταχ. εκ. μ. δευτερόλεπτ.	κ. έκ. CO κατά κ. έκ. διαλύματος	Χιλιοστόχ. CO κατά λεπτόν	% Διαρο- φέρησις
19' 32''	0.57	0.889	5.85	0.275	6.40	95.5
11' 10'	2.93	1.61	10.23	0.365	8.48	73.6
5' 45'	6.03	3.00	19.1	0.426	9.91	44.83
3' 32''	7.23	4.88	31.05	0.478	11.15	33.00
2' 6''	8.41	8.1	51.5	0.488	11.88	19.6
1' 32''	8.76	11.05	70.03	0.546	12.71	15.8
1' 18''	8.91	13.00	82.28	0.568	12.93	14.2

 $\Sigma\chi. 4.$



3. Ἐπίδρασις τῆς θερμοκρασίας. — "Αλλαι σειραὶ πειραμάτων ἔξετελέσθησαν εἰς διαφόρους θερμοκρασίας ἥτοι  $15^{\circ}$ ,  $20^{\circ}$  καὶ  $25^{\circ}\text{C}$ . Η ταχύτης ροῆς τοῦ τε ύγροῦ καὶ ἀερίου διετηρήθη εἰς ὅλα τὰ πειράματα ἡ αὐτή, τούτεστι 15 κυβ. ἐκ. διαλύματος κατὰ λεπτὸν καὶ 30 ἑκατ. μ. γραμμικὴ ταχύτης κατὰ δευτερόλεπτον.

Ο πίναξ IV δεικνύει τὰ ἀποτελέσματα τῶν πειραμάτων τούτων.

#### ΠΙΝΑΞ IV.

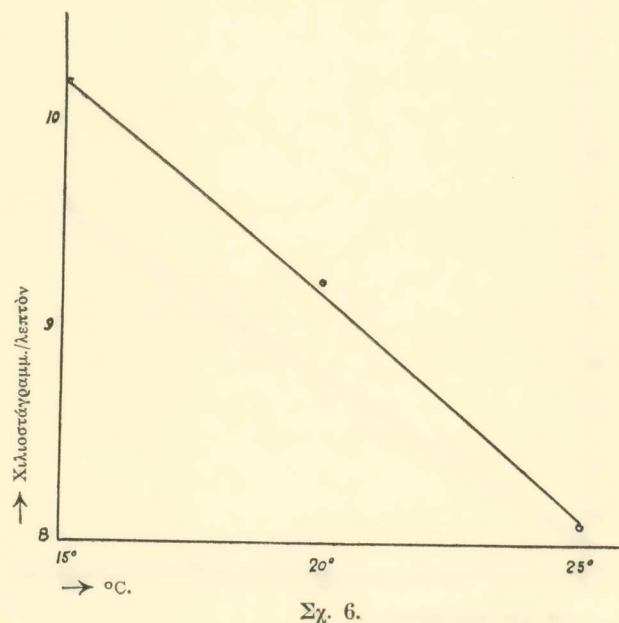
Πίεσις: 13 ἑκατ. μ. στήλης ὕδατος

Ταχύτης ροῆς ἀερίου: 30 ἑκατ. μ. κατὰ δευτερόλεπτον

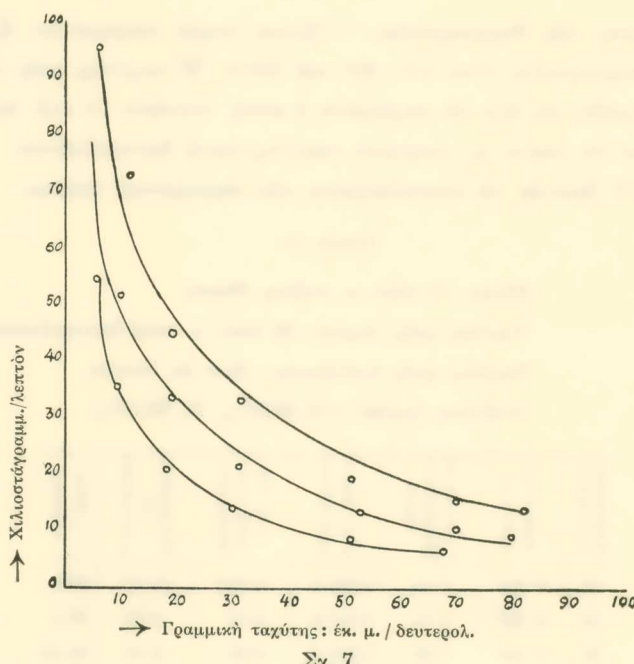
Ταχύτης ροῆς διαλύματος: 15 κ. ἐκ. λεπτόν.

Ανάλυσις ἀερίου: CO 10.24%, N<sub>2</sub> 89.76%.

Θερμοκρασίας εἰς 0 Κελ.	Χρόνος διά 1000 μ. ἐκ.	% CO εἰς τὸ ἔξεργον δέρμαν	μ. ἑκ. λεπτὸν κατὰ λεπτὸν	μ. ἑκ. CO κατὰ μ. ἐκ διαλύματος	Χιλιοστόγ. CO κατὰ λεπτὸν	% ἀπο- ρρίψις
15	3' 29''	7.54	1030.2	0.632	10.22	28.6
20	3' 32''	7.74	1027.8	0.53	9.25	26.4
25	3' 30'	7.98	1025.2	0.48	8.10	24.02



Σχ. 6.



Σχ. 7.

Ἐπὶ τῇ βάσει τῶν ἀνωτέρω πινάκων δυνάμεθα νὰ διατυπώσωμεν τὰς καμπύλας τῆς ἀπορροφήσεως ὡς καὶ τὰς καμπύλας τῆς ἀποδόσεως τοῦ ἀπορροφητικοῦ πύργου (ἐπὶ τοῖς ἑκατὸν ἀπορρόφησις) Σχ. 4, 5, 6, 7.

## ΣΥΜΠΕΡΑΣΜΑΤΑ

1<sup>ον</sup> Αὐξανομένης τῆς ταχύτητος ροῆς τοῦ αερίου ἡ ποσότης τοῦ μονοξειδίου τοῦ ἄνθρακος ἥτις ἀπορροφᾶται, κατὰ κυβ. ἑκατ. διαλύματος ὑποχλωριούχου χαλκοῦ, αὐξάνει κατὰ πρῶτον ταχέως μέχρι ταχύτητος 30 ἐκ. μ. κατὰ δευτερόλεπτον. Πέραν τῆς ταχύτητος ταύτης ἡ ἀπορρόφησις συνεχίζεται αὐξανομένη, ἀλλ' ὅχι τόσον ταχέως (πίνακες I, II καὶ III καὶ καμπύλη Σχ. 4).

2<sup>ον</sup> Αὐξανομένης τῆς ταχύτητος ροῆς τοῦ διαλύματος ἡ ποσότης τοῦ κατὰ λεπτὸν ἀπορροφωμένου μονοξειδίου τοῦ ἄνθρακος αὐξάνει δὲ ὅλας τὰς ταχύτητας τοῦ αερίου (καμπ. Σχ. 5): 'Οπωσδήποτε ἡ ποσότης τοῦ μονοξειδίου τοῦ ἄνθρακος ἡ ὅποια ἀπορροφᾶται κατὰ κυβ. ἑκ. διαλύματος εἶναι μικροτέρα διὰ τὰς ὑψηλοτέρας ταχύτητας ροῆς διαλύματος.

3<sup>ον</sup> Αὐξανομένης τῆς θερμοκρασίας ἡ ποσότης τοῦ μονοξειδίου τοῦ ἄνθρακος ἐλαττοῦται (καμπ. Σχ. 6).

4<sup>ον</sup> Ἡ ἀπορροφητικὴ ἴκανότης τοῦ πύργου πρὸς κατακράτησιν τοῦ μονοξειδίου τοῦ ἄνθρακος ἀπὸ τὸ πρὸς κάθαρσιν ἀέριον (%) ἐλαττοῦται αὐξανομένης τῆς ταχύτητος ροῆς αερίου (καμπ. Σχ. 7).

## ΒΙΒΛΙΟΓΡΑΦΙΑ

1. *Comp. Rend.*, **30**, p. 483, 1850.
2. *Bull. Soc. Chim. de Paris*, **27**, 5, p. 176, 1866.
3. *British Patent*. № 15,310.

## RÉSUMÉ

La rapidité d'absorption d'oxyde de carbone par les solutions de chlorure cuivreux a été étudiée dans une petite tour d'absorption du système countercurrent, fabriquée spécialement en verre pyrex pour le besoin de ces expériences.

On a fabriqué aussi, pour la détermination quantitative de l'oxyde de carbone, un nouvel appareil d'une très grande exactitude et d'un maniement très facile.

Les résultats des expériences qui furent faites sont les suivants:

1<sup>o</sup> Avec augmentation de la vitesse du gaz, la quantité d'oxyde de carbone qui est absorbée par cm<sup>3</sup> de la solution augmente tout d'abord rapidement jusqu'à la vitesse de 30 cm par seconde. Au delà de cette vitesse l'absorption continue à augmenter, mais pas aussi rapidement (tableaux I, II et III et courbes).

2° Avec augmentation de la vitesse de la solution du CuCl, la quantité d'oxyde de carbone absorbé par minute augmente pour toutes les vitesses du gaz, (courbe 5).

Quoi qu'il en soit, la quantité d'oxyde de carbone qui est absorbée par  $\text{cm}^3$  de la solution, est moindre pour les plus rapides vitesses de la solution.

3° Avec augmentation de la température la quantité d'oxyde de carbone diminue (courbe 6).

4° La capacité d'absorption de cette tour pour l'oxyde de carbone par le gaz à épurer diminue, lorsqu'augmente la vitesse du gaz (courbe 7).

DEPARTMENT OF CHEMICAL ENGINEERING  
UNIVERSITY COLLEGE, LONDON

---

---